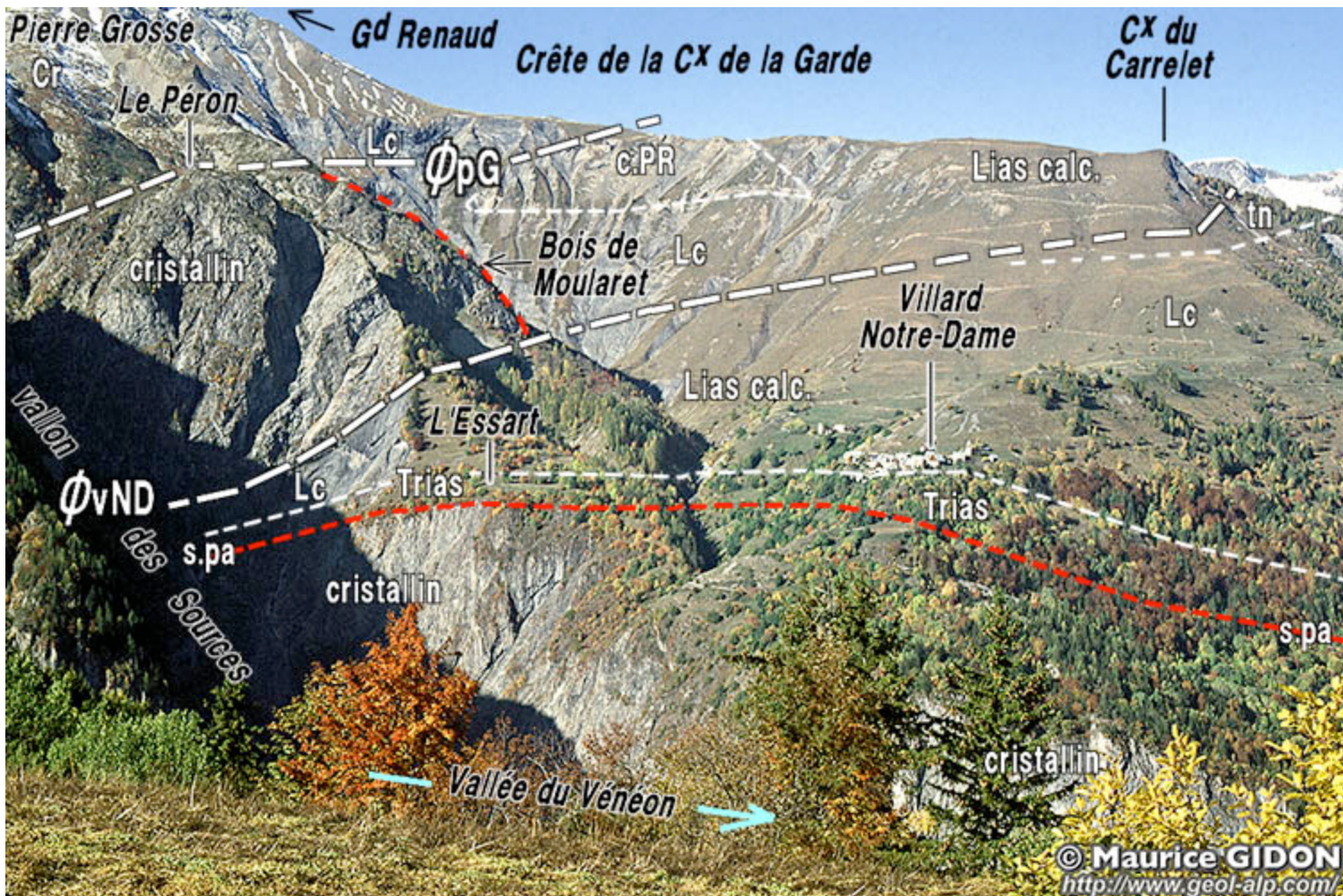


À la Croix du Carrelet, par Villard Notre-Dame

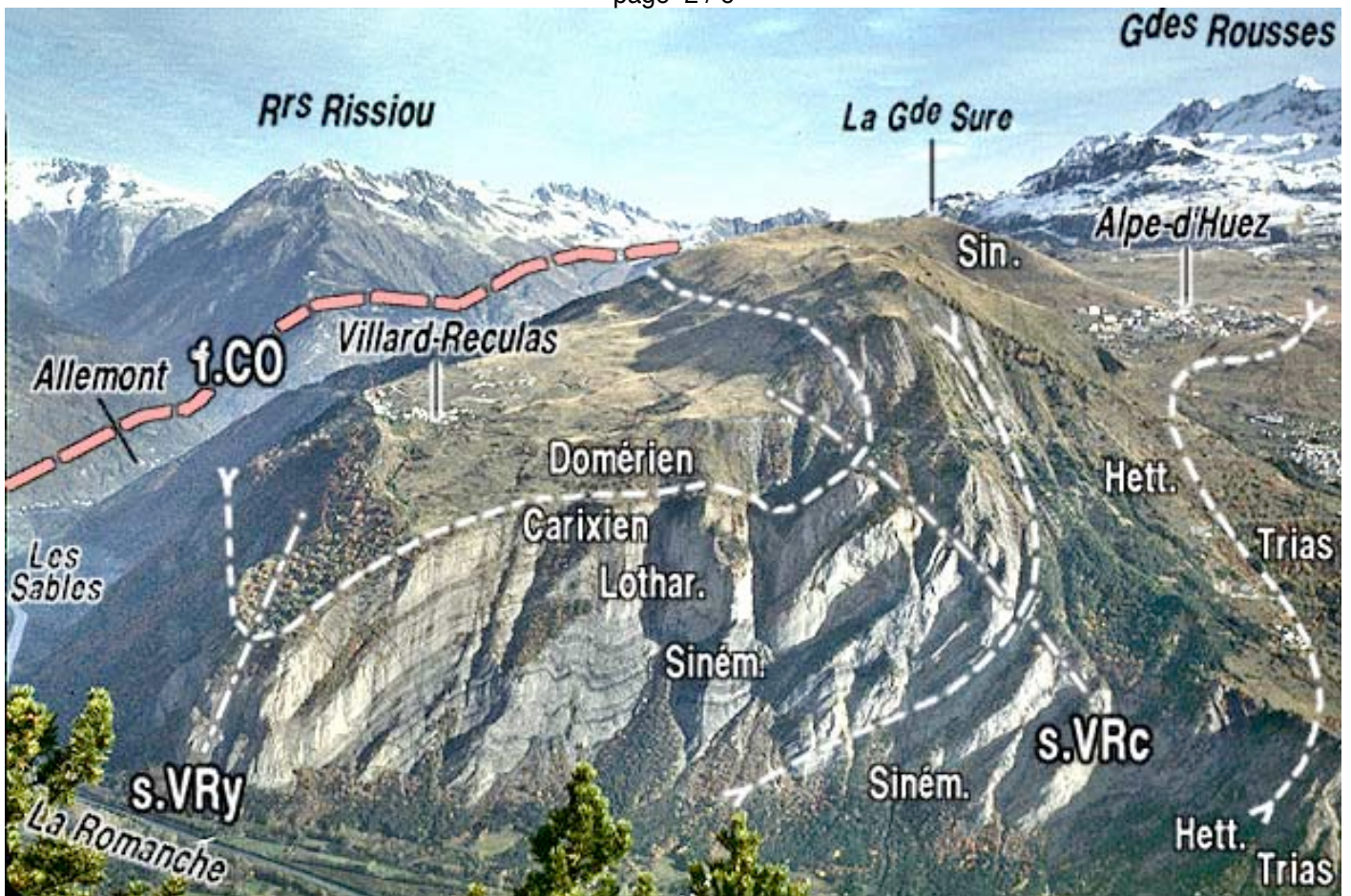


Vue d'ensemble de la **rive gauche du Vénéon**, depuis sa rive orientale

ØvND = chevauchement de Côte Belle - Villard Notre-Dame ; ØPG = chevauchement de Pierre Grosse.



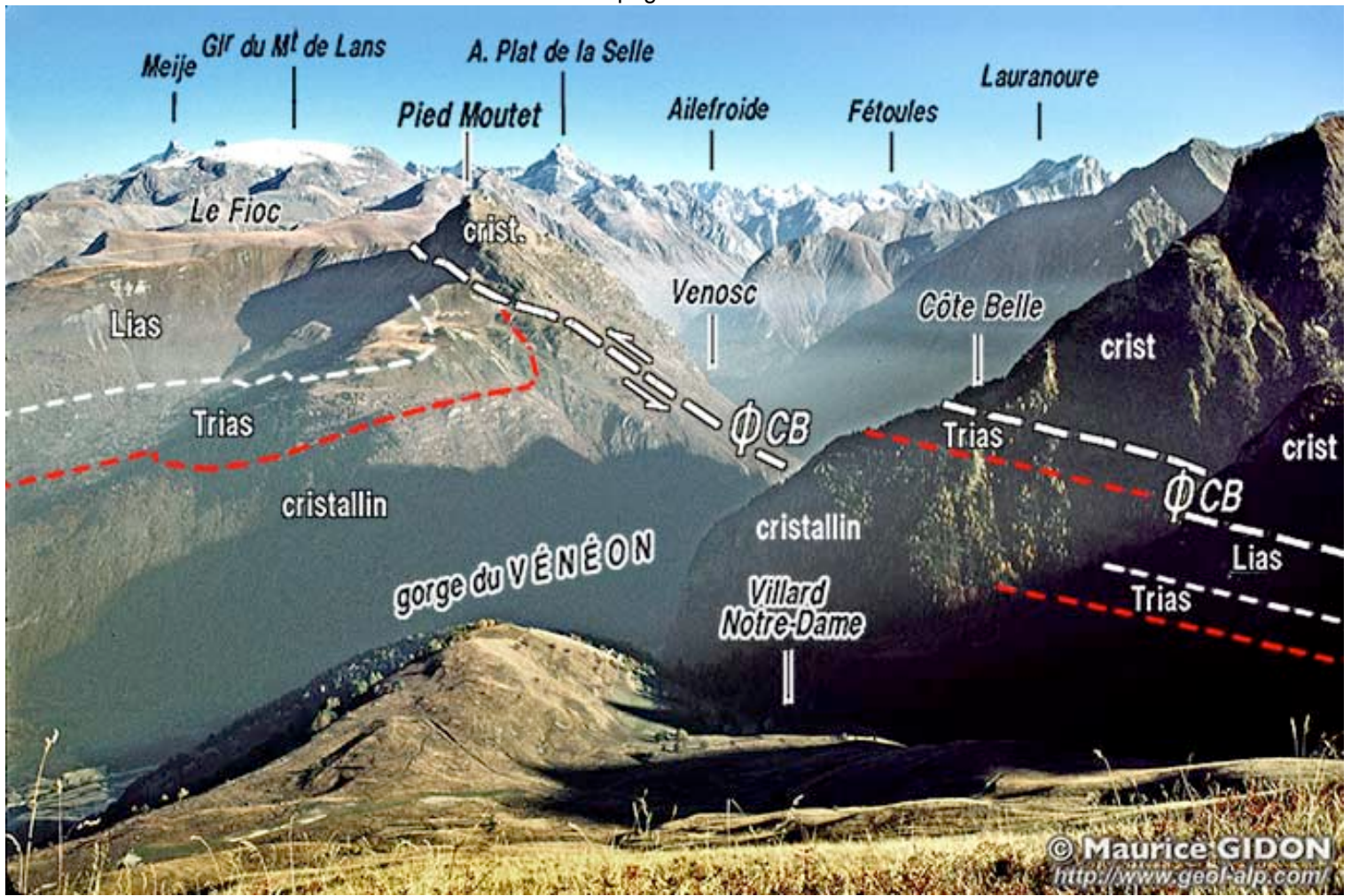
Le chevauchement de Côte Belle - Villard-Notre-Dame, en rive gauche des abrupts aval du vallon des Sources (pentes du Péron) : partie méridionale des affleurements, vue du lacet 1410 de la D.219 montant à Villard-Notre-Dame.



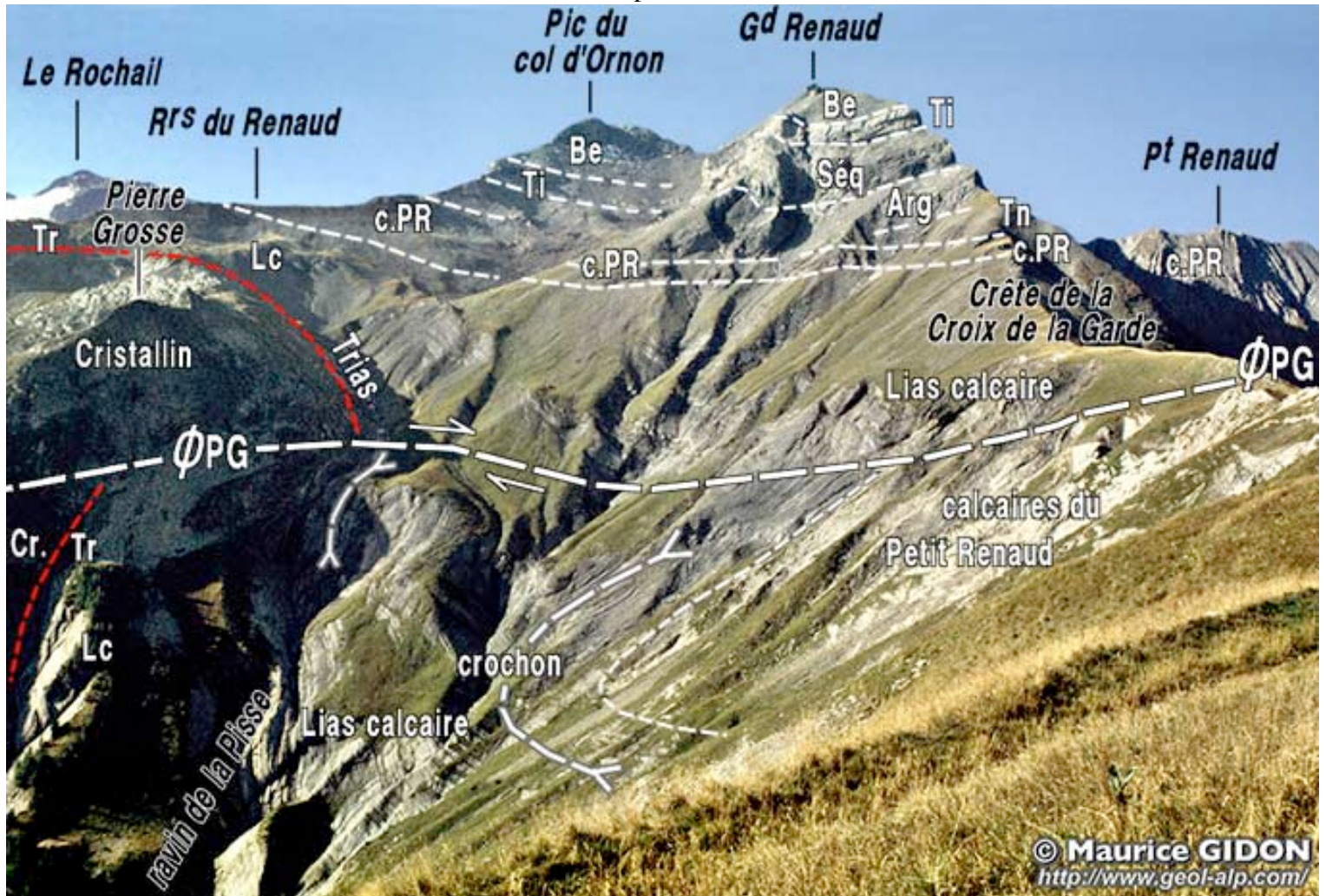
La Côte Alamele (au NE de Bourg-d'Oisans), vue depuis les pentes de la Croix du Carrelet



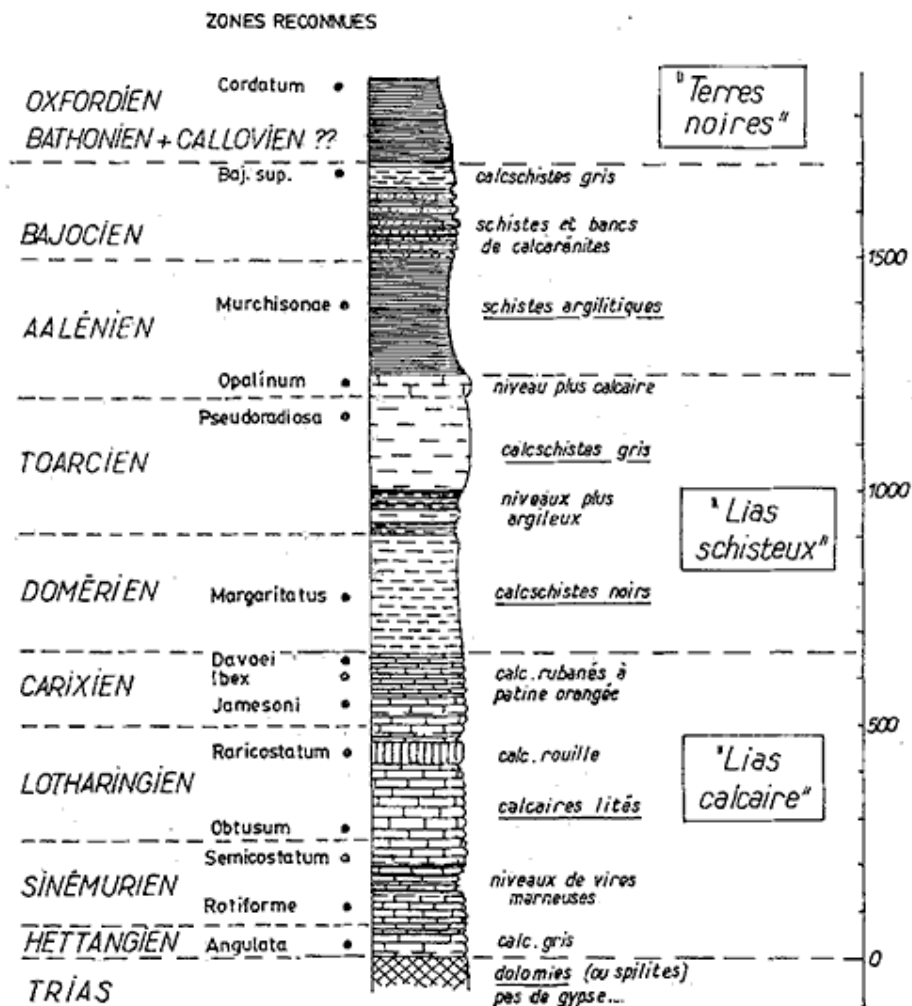
Les abrupts dominant la plaine de Bourg-d'Oisans, au sud de L'Armentier, vus depuis les pentes de la Croix du Carrelet



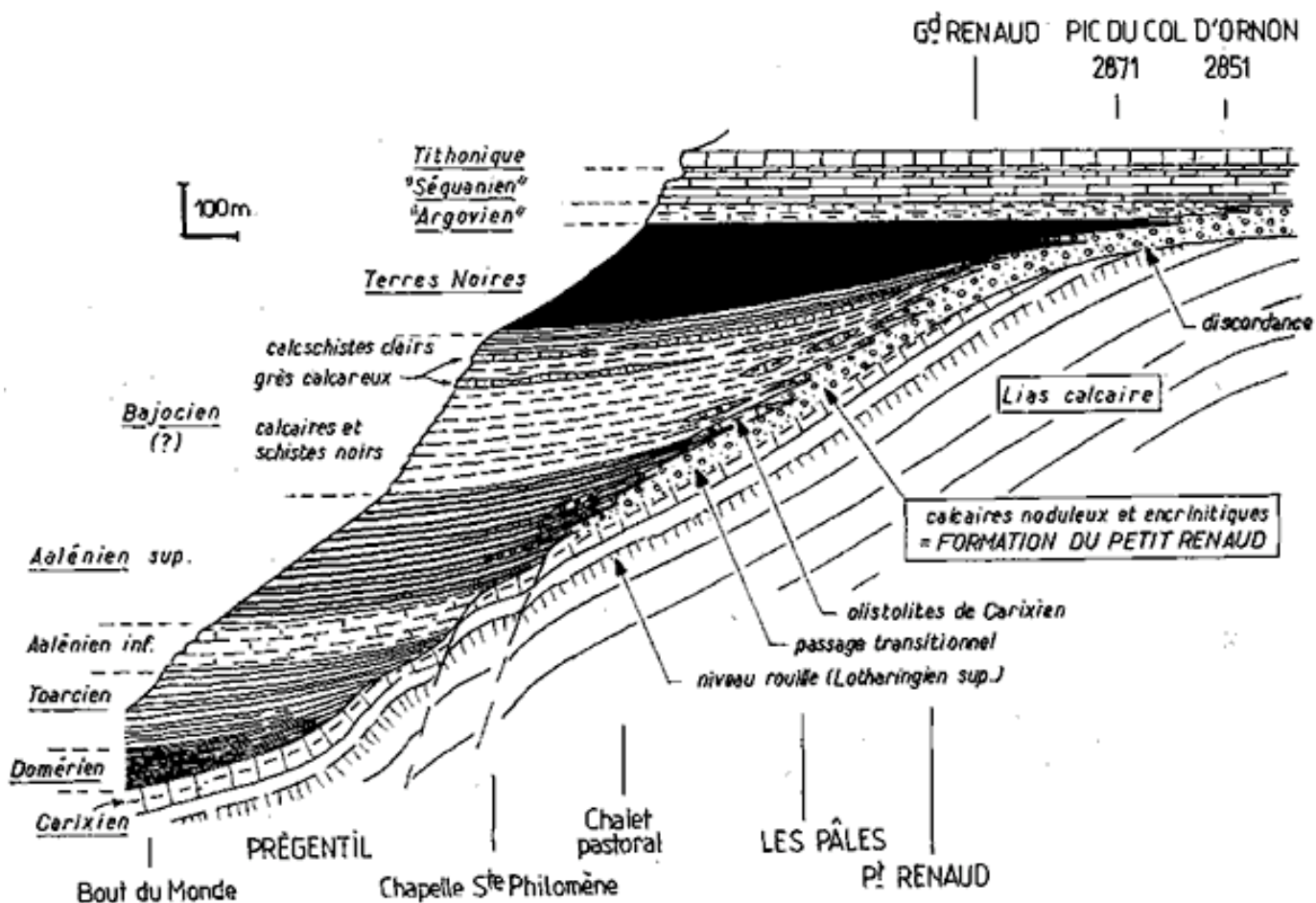
Le Bas Vénéon, depuis la Croix du Carrelet



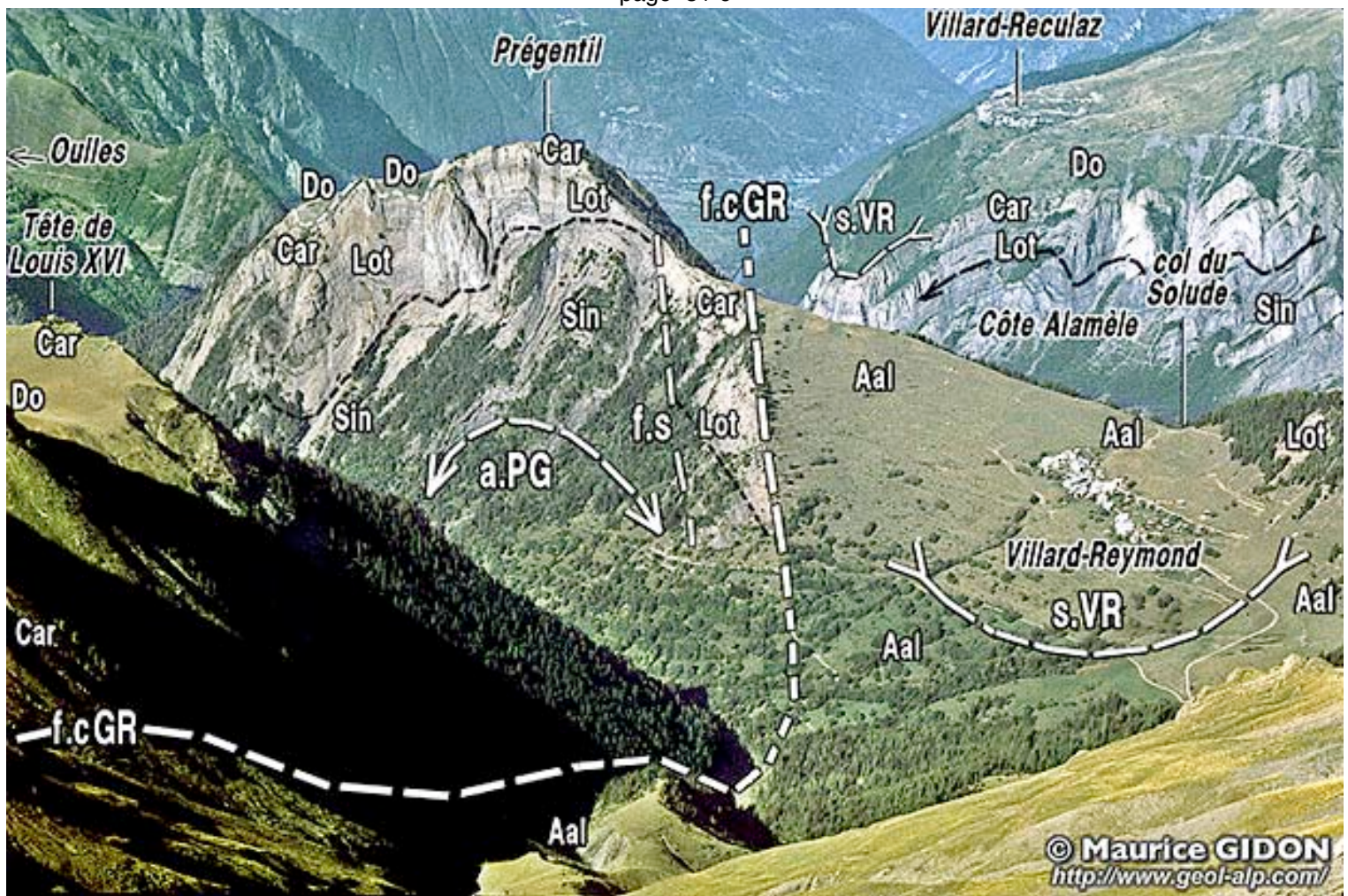
ØCB = chevauchement de Côte Belle - Villard Notre-Dame ; ØPG = chevauchement de Pierre Grosse



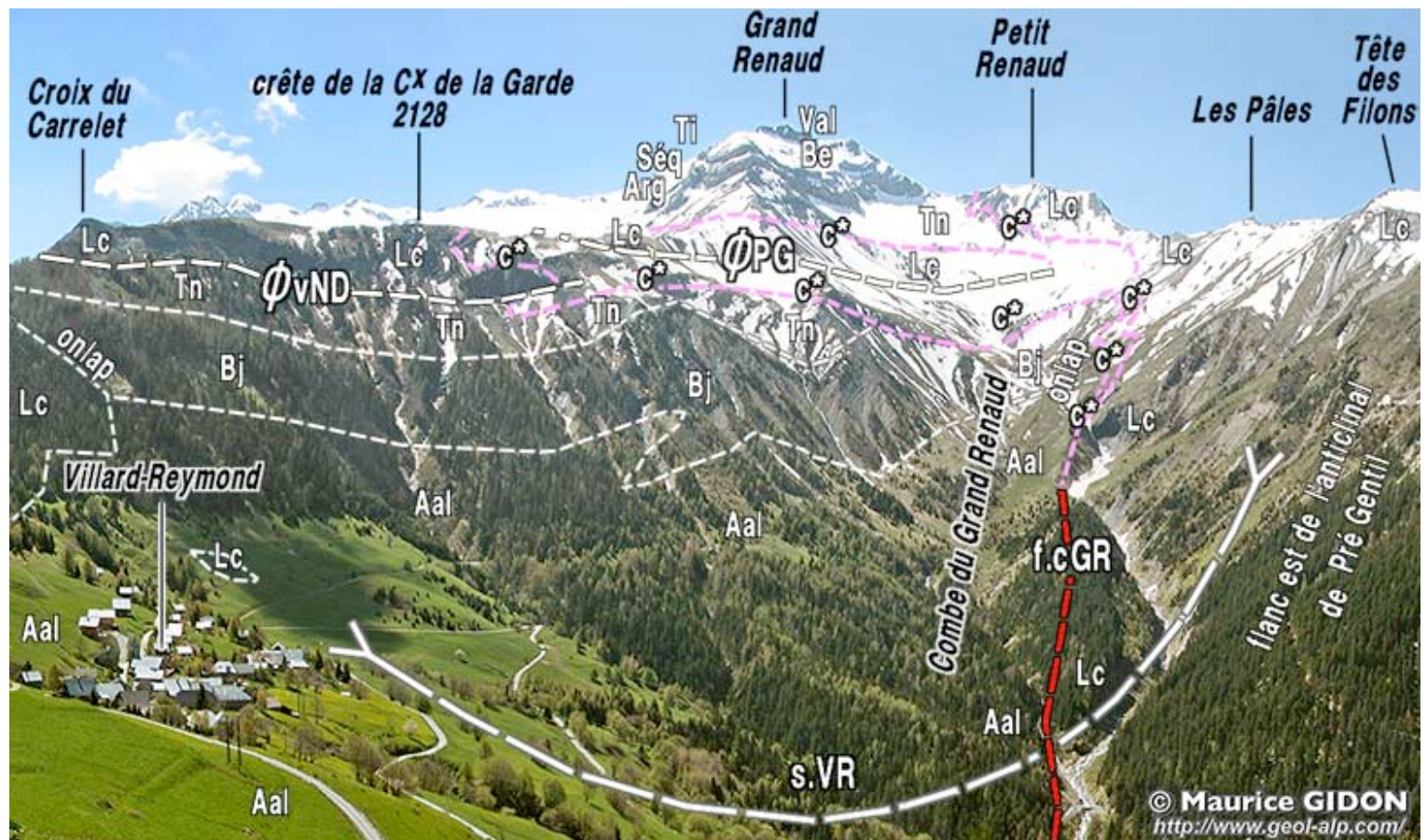
Colonne strati du **domaine dauphinois** à la latitude de Bourg-d'Oisans.



Coupe stratigraphique synthétique du **flanc ouest du synclinal de Villard Reymond**



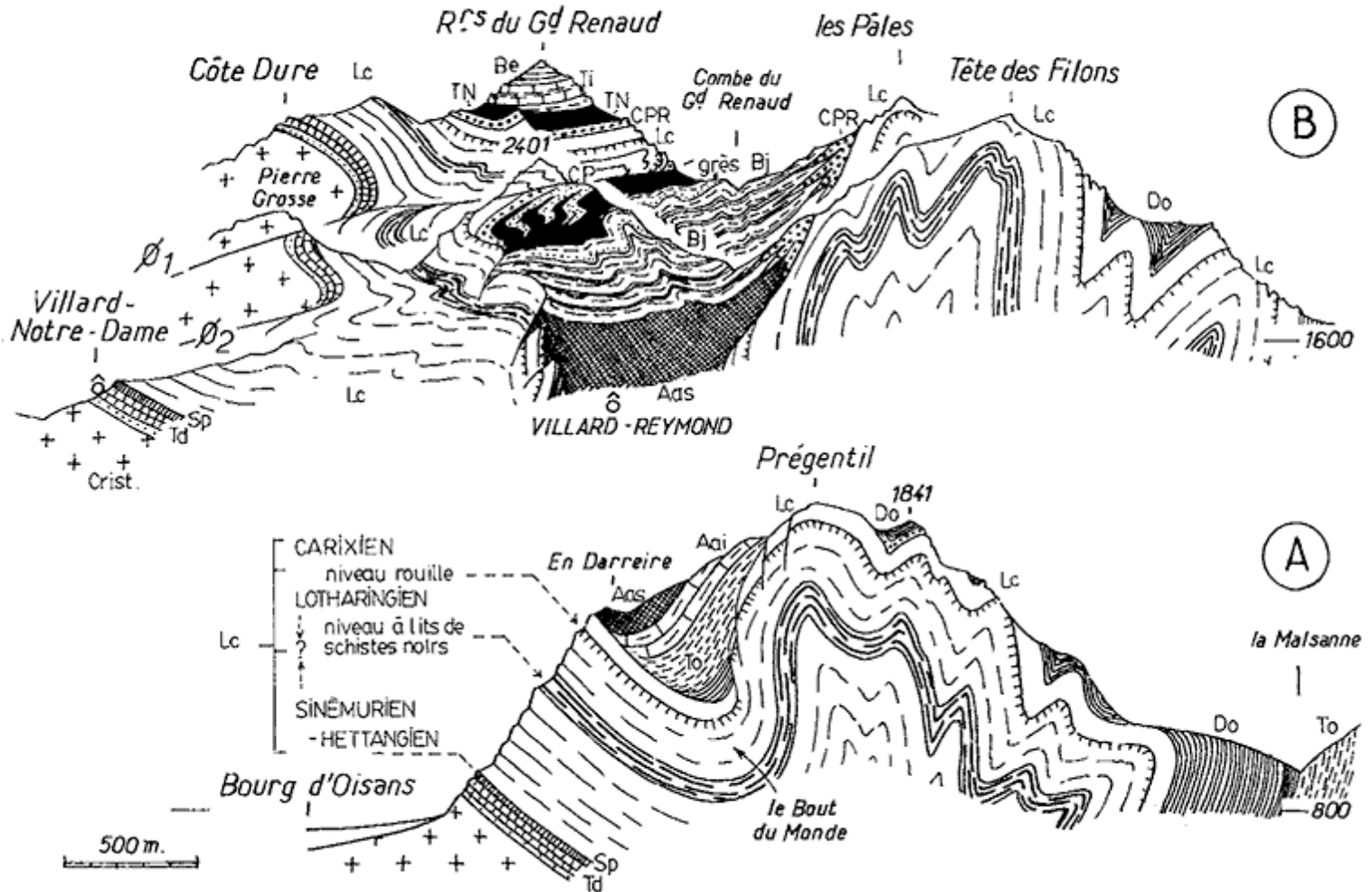
Prégentil et Villard Reymond, vus du sud depuis le sommet du Grand Renaud



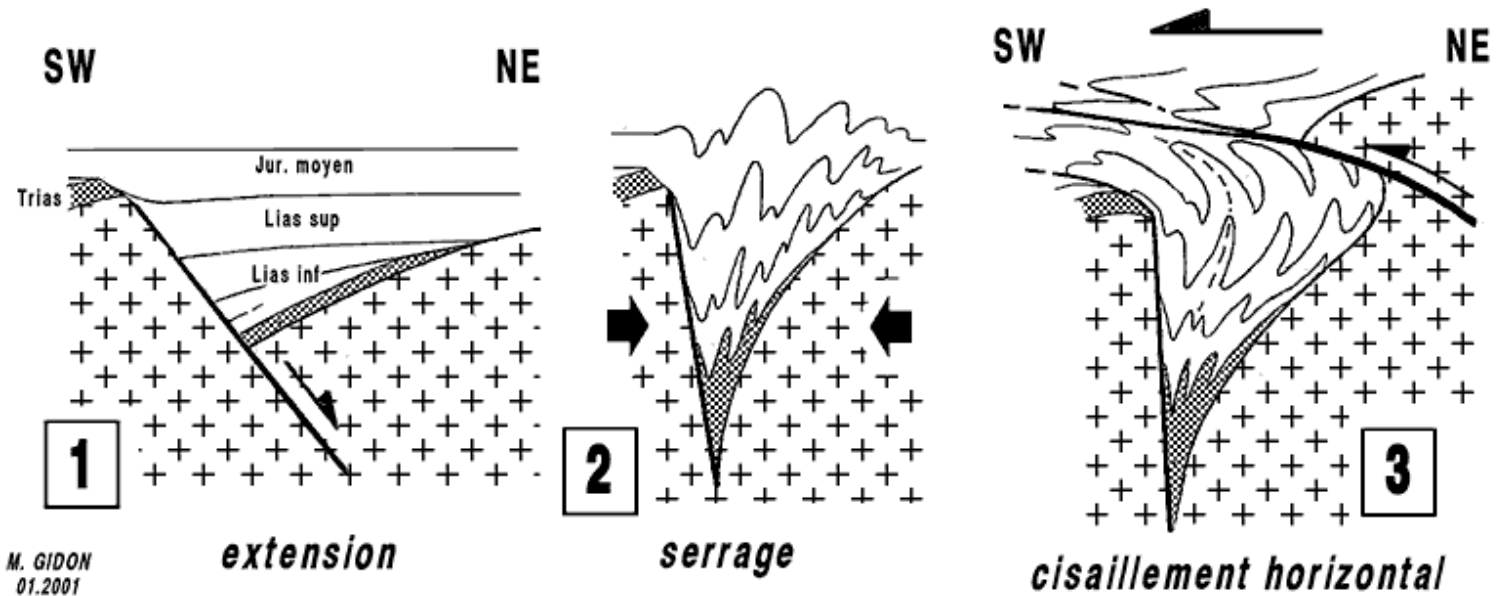
Le versant nord du Grand Renaud, depuis l'arête sud de Prégentil

EST

OUEST



Coupes au nord (A) et au sud (B) de Villard Reymond



M. GIDON
01.2001

Schéma général de l'histoire tectonique des hémigrabens des massifs cristallins externes

N.B. (2) et (3) sont des déformations plus ou moins corrélatives selon que la région subit en premier lieu (2) le serrage dû à la propagation vers les zones externes des effets compressifs de la collision ou (3) le cisaillement lié à l'arrivée des nappes internes.